

III-71 弹性率が深さとともに指数的に増す有限深さ地盤の応力と変位について

東京工業大学 正員 山口柏樹

正員 木村 孟

学生員○尾上篤生

概要

地盤を異質等方性弾性体として変位及び応力を解析したものに、半無限地盤を対象として弾性率が指数的に変化する場合(松村, 1931), 直線的に変化する場合(Gibson, 1966), あるいは有限地盤を対象として直線的に変化する場合に非圧縮性を仮定したもの(山口他, 1970)などがある。本報告では、弾性率が指数的に変化する有限深さ地盤の解析結果を述べるものである。表面荷重としては、円形等分布荷重と帯状等分布荷重、地盤下面と岩盤の接触は、粗い場合と滑らかな場合を仮定する。

I 解析

力の釣合方程式、フックの法則および変位と歪の関係から、次の変位で表された釣合方程式を得る。

$$\left. \begin{array}{l} \frac{\partial^2 u}{\partial z^2} + K \frac{\partial}{\partial z} \left(\frac{\partial u}{\partial z} - \frac{\partial w}{\partial r} \right) + \alpha K \left(\frac{\partial u}{\partial z} + \frac{\partial w}{\partial r} \right) = 0 \\ \frac{\partial^2 w}{\partial z^2} + \alpha \Delta + K \left(\frac{\partial u}{\partial r} + \frac{1}{r} \right) \left(\frac{\partial w}{\partial r} - \frac{\partial u}{\partial z} \right) - 2\alpha K \left(\frac{\partial u}{\partial r} - \frac{w}{r} \right) = 0 \\ \Delta = E_r + E_\theta + E_z = \frac{\partial u}{\partial r} + \frac{u}{r} + \frac{\partial w}{\partial z} \end{array} \right\}$$

$$\left. \begin{array}{l} \frac{\partial^2 u}{\partial z^2} + K \frac{\partial}{\partial z} \left(\frac{\partial u}{\partial z} - \frac{\partial w}{\partial z} \right) + \alpha K \left(\frac{\partial u}{\partial z} + \frac{\partial w}{\partial z} \right) = 0 \\ \frac{\partial^2 w}{\partial z^2} + \alpha \Delta - K \frac{\partial}{\partial z} \left(\frac{\partial u}{\partial z} - \frac{\partial w}{\partial z} \right) - 2\alpha K \frac{\partial u}{\partial z} = 0 \\ \Delta = E_z + E_\theta = \frac{\partial u}{\partial z} + \frac{\partial w}{\partial z} \end{array} \right\}$$

$$ここで, K = \frac{\mu}{\lambda+2\mu}, ただし \mu = \mu_0 e^{\alpha z} = E_0 e^{\alpha z/2(1+\nu)}, \lambda = \lambda_0 e^{\alpha z} = \nu E_0 e^{\alpha z/2(1+\nu)}(1-2\nu)$$

$$u(z, z) = \int_0^\infty \phi(\xi, z) U(\xi, z) d\xi \quad (\phi(\xi, z) = \begin{cases} \sqrt{\frac{\pi}{2}} J_0(\xi z) & \text{平面歪} \\ \sqrt{\frac{\pi}{2}} J_1(\xi z) & \text{軸対称} \end{cases})$$

$$w(z, z) = \int_0^\infty \psi(\xi, z) W(\xi, z) d\xi \quad (W(\xi, z) = \begin{cases} \sqrt{\frac{\pi}{2}} J_0(\xi z) & \text{平面歪} \\ \sqrt{\frac{\pi}{2}} J_1(\xi z) & \text{軸対称} \end{cases})$$

と変換してひに適する式をつくれば、平面歪、軸対称のいずれの場合も次の同一な式に帰する。

$$\frac{d^2 W}{dz^2} + 2\alpha \frac{d^2 W}{dz^3} + (\alpha^2 - 2\zeta^2) \frac{d^2 W}{dz^4} - 2\alpha \zeta^2 \frac{d^2 W}{dz^5} + \{ \zeta^2 + (\nu - 2\nu) \alpha^2 \zeta^2 \} W = 0$$

同様にひに適する式を得て、これを解けば、ボアソン比が0の場合としかうざる場合とで異なる形の解に到るが、以下にボアソン比が0でない場合を示すと

$$W = \int_0^\infty \psi(\xi, z) (C_1 e^{\lambda_1 z} + C_2 e^{\lambda_2 z} + C_3 e^{\lambda_3 z} + C_4 e^{\lambda_4 z}) d\xi$$

$$U = \int_0^\infty \phi(\xi, z) (A_1 C_1 e^{\lambda_1 z} + A_2 C_2 e^{\lambda_2 z} + A_3 C_3 e^{\lambda_3 z} + A_4 C_4 e^{\lambda_4 z}) d\xi$$

$$\text{ここで, } \lambda_m = \frac{1}{2} \{ -\alpha + (-1)^{(m-1)/2} \times \sqrt{\alpha^2 + 4\zeta^2 - (-1)^m 4\sqrt{1-\nu^2} \alpha \zeta} \}$$

$$A_m = \{ (1-K) \zeta \lambda_m + \alpha K \lambda_m \} / \{ K \lambda_m^2 + \alpha K \lambda_m - \zeta^2 \} \quad (m=1, 2, 3, 4)$$

ただし、 C_1, C_2, C_3, C_4 は境界条件から定まる定数である。

II 境界条件

地盤は深さHの弾性体と、その下の剛体の岩盤とから成り、その接觸条件から以下の2 Case を想定する。荷重は、半径Bの円形等分布あるいは幅Bの帯状等分布荷重で、その大きさをまととした。

Case 1 ---- 境界が粗の場合, $z = H \tau$ $U = W = 0$

$$Z = 0 \tau \quad Z(\frac{z}{H}) = 0, \quad \hat{G}_z = \begin{cases} -8 & (0 \leq \frac{z}{H} \leq B) \\ 0 & (B < \frac{z}{H}) \end{cases}$$

Case 2 ---- 境界が滑の場合, $Z = H \tau$ $Z(\frac{z}{H}) = 0, \quad W = 0$

$$Z = 0 \tau \quad Z(\frac{z}{H}) = 0, \quad \hat{G}_z = \begin{cases} -8 & (0 \leq \frac{z}{H} \leq B) \\ 0 & (B < \frac{z}{H}) \end{cases}$$

III 变位解及び応力解

IIの境界条件の下で、定数 C_1, C_2, C_3, C_4 は次のように決まる。たゞしポアソン比が $\frac{1}{2}$ の場合と、しきらざる場合とで式の形が異なる。軸対称について

$$I = (G_1 e^{2nH} G_4 e^{2nH}) + (G_2 e^{2nH} G_4 e^{2nH}) k_2 + (G_3 e^{2nH} G_4 e^{2nH}) k_3$$

$$k_2 = -(D_1 F_3 - D_3 F_1) / (D_2 F_3 - D_3 F_2)$$

$$k_3 = -(D_1 F_2 - D_2 F_1) / (D_3 F_2 - D_2 F_3)$$

$$D_n = (A_n - A_{\bar{n}}) e^{2nH} \quad (\text{Case 1}) \quad D_n = (A_n^2 - A_{\bar{n}}^2) \quad (\text{Case 2}) \quad (n=1, 2, 3)$$

$$F_n = (\xi - 2n A_n) e^{2nH} - (\xi - 2n A_{\bar{n}}) e^{A_{\bar{n}} H} \quad (n=1, 2, 3)$$

とあくことにより (i) $\nu = \frac{1}{2}$ の場合 $S = \left\{ \frac{(4\nu)}{E_0} \right\} \frac{B J_1(\xi B)}{I}$, $G_n = \xi \lambda_n - \frac{\nu}{2} \xi + (-1)^n \lambda_{\bar{n}}$ ($\xi = \frac{B}{2H}$) ($n=1, 2, 3, 4$)

(ii) $\nu \neq \frac{1}{2}$ の場合 $S = \left\{ \frac{(4\nu)(1-\nu)}{E_0} \right\} \frac{B J_1(\xi B)}{I}$, $G_n = \nu \xi + (-1-\nu) A_n \lambda_n$ ($n=1, 2, 3, 4$)

として $(C_1, C_2, C_3, C_4) = S(-e^{2nH}, -k_2 e^{2nH}, -k_3 e^{2nH}, e^{2nH} + k_2 e^{2nH} + k_3 e^{2nH})$

平面歪に対する解は、 S において $B J_1(\xi B)$ を $\sqrt{\xi} \sin(\xi B)$ とすればよい。

これらから、とくに軸対称問題の $\nu = \frac{1}{2}$ の場合の変位及び応力の解を示せば以下のようなが、平面歪に対する解にはあすのは前述のとおりである。

$$\frac{E_0}{(1+\nu)} \frac{\partial}{\partial z} u(r, z) = B \int_0^\infty \left[\frac{J_1(\xi B)}{I} \{e^{2nH} (\lambda_1 e^{2nH} + k_2 e^{2nH} + k_3 e^{2nH}) - \lambda_{\bar{n}} e^{2nH} (e^{2nH} + k_2 e^{2nH} + k_3 e^{2nH})\} \right] J_1(\xi r) d\xi$$

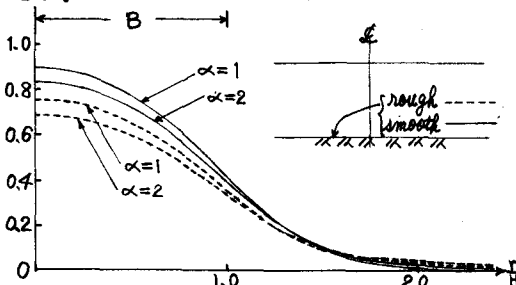
$$\frac{E_0}{(1+\nu)} \frac{\partial}{\partial z} w(r, z) = B \int_0^\infty \left[\frac{J_1(\xi B)}{I} \{e^{2nH} (e^{2nH} + k_2 e^{2nH} + k_3 e^{2nH}) - e^{2nH} (e^{2nH} + k_2 e^{2nH} + k_3 e^{2nH})\} \right] J_0(\xi r) d\xi$$

$$\frac{\partial z}{\partial E_0} = - \int_0^\infty \left[\frac{J_1(\xi B)}{I} \{G_1 e^{(2nH+2nB)} + G_2 e^{(2nH+2nB)} + G_3 e^{(2nH+2nB)} e^{2nH} (e^{2nH} + k_2 e^{2nH} + k_3 e^{2nH})\} \right] J_0(\xi r) d\xi$$

IV 数値計算と結論

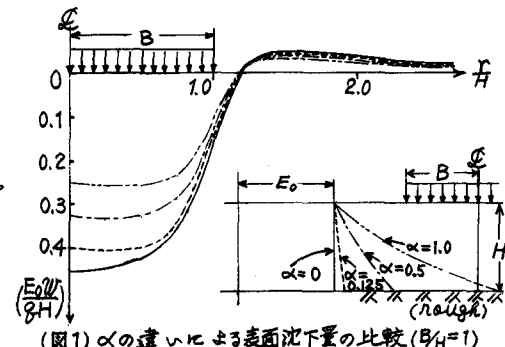
上の u, w, δ_z の式中の変数を、層厚 H で無次元化した後に、弾性率 $E = E_0 e^{\alpha z}$ において α を変化し、応力及び変位を計算した結果は右図のようである。図は円形載荷に対するもので、 $\alpha = 0$ は等質地盤にあたる。

計算の結果、地盤内の弾性率の平均か等しければ表面沈下に与える α の影響は小さいことわかる。(図3)。応力分布は、接触面の粗滑の影響の方が α の差異より大きいが、一般的鉛直応力が弾性係数によらず(均一地盤)ことから予想される。左お、ポアソン比の影響については現在計算中であるので講演時に補足したい。

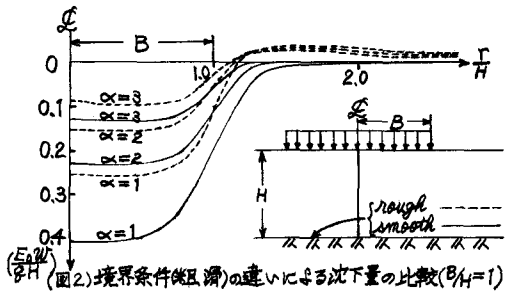


(図4) 岩盤上の鉛直応力分布 ($B/H = 1$)

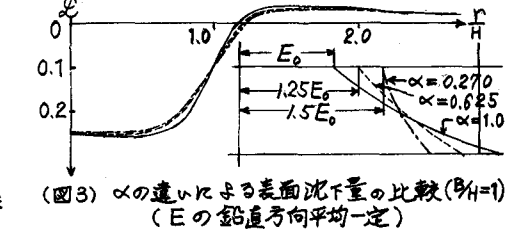
参考文献 松村源治：弾性率が深さとともに変化する地盤における基盤沈下(<1931>) 土木学会誌 第17卷 11号
山口裕樹他：弾性率が深さとともに直線的に変化する有限深さ地盤内の応力及び変位について(1970) 土木学会第25回講演集



(図1) α の違いによる表面沈下量の比較 ($B/H = 1$)



(図2) 境界条件(粗滑)の違いによる沈下量の比較 ($B/H = 1$)



(図3) α の違いによる表面沈下量の比較 ($B/H = 1$)
(E の鉛直方向平均一定)